

(2) : 分枝限定法で大規模問題例を解く

木瀬 洋

1. はじめに

前号 [7] では茂木先生が組合せ最適化の計算複雑性の立場からスケジューリング問題の難しさを明確に論じられた。一言で言うと、(簡単に) 解けるスケジューリング問題はむしろ例外的で、ほとんどの場合は、解くことが難しい、いわゆる NP 困難問題であることを認識しなければならない、という事である。実際、この連載講座で以後、いろいろな近似的手法が展開されるのもこの認識を反映しての事である。しかし、ここで前向きな立場からこの難しさを考えてみる。NP 完全の理論は、NP 困難問題に対して最悪の場合に問題規模の指数関数程度の計算量を要する事を推測しているだけであって、全ての問題例に対して困難性を指摘しているのではない。また、その様な最悪例がどの程度存在するかはそれを解くアルゴリズムに依存すると思われる。言換えると、良く工夫されたアルゴリズムのもとでは大多数の問題例が効率よく解かれても不思議ではない。この意味で分枝限定法は現時点で最も有力な最適化手法である。ここでは分枝限定法の枠組を概説すると共に 2 種の NP 困難なスケジューリング問題に対して 1000 ジョブ程度の大規模(?) 問題例を解いている分枝限定法アルゴリズムを紹介する。これら 2 つの問題はいずれも“強い意味”での NP 困難問題である。

2. 分枝限定法

分枝限定法 (以後、B & B 法と記す) では例えば図 1 の様な分枝図で示されるように、直接解く事が困難な原問題 (P_0) を 1 つ以上の部分問題 (P_1, P_2, P_3) に分割し、それらを全て解く事によって P_0 を解こうとする。この様な分割は部分問題にも解く事に関し何らかの結論が得られるまで繰り返し適用される。以下では (P_0 も含めて) 部分問題 P_i を (分枝図の) 節点と言う。一般に分割されるべき節点を親、分割によって生

きせ ひろし 京都工芸繊維大学工学学部
〒606 京都市左京区松ヶ崎御所海道町

成された節点を子と言い、結論の出た節点は終端、そうでなく分割される可能性のある節点は活性であると言う。節点の要件として次の 2 つが必要である。

(1) 親節点の解集合はその全ての子節点の解集合の和と一致する。これによって全ての子節点を解く事によって親節点が解かれる事が保証される。

(2) 子節点は親に比べて何らかの意味で解き易い。これによって原問題の解に近づく事になる。

たとえば、 n ジョブ $J = \{1, 2, \dots, n\}$ の最適処理順序を決定するスケジューリング問題 (図 1 は $n = 3$ の場合) において各ジョブ $j = 1, 2, \dots, n$ を処理すべき最初のジョブとして固定し、残り $n - 1$ 個のジョブの最適順序を決定する n 個のスケジューリング問題 (P_1, P_2, P_3) は (1) と (2) を満している。この様に B & B 法の基本構造は極めて簡単で、どの様なスケジューリング問題にも容易に適用できる。しかし、これだけでは単に実行可能解を数え上げるだけの手段にすぎないのであって、現実的な解法とはなり得ない。たとえば、 $n = 100$ のスケジュールの数は $n! \approx 10^{159}$ であり、スーパーコンピュータが 1 千億世紀かかっても数え上げられない数である。

B & B 法では生成された全節点が分枝されているか、終端している、すなわち、活性節点の無くなった時点

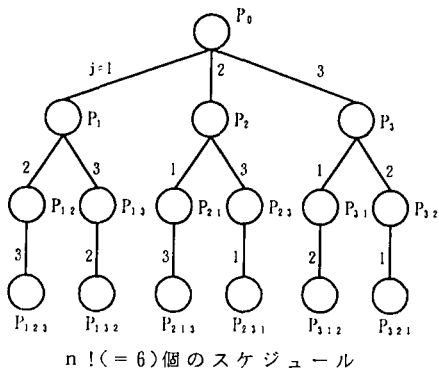


図 1: 分枝図 ($n=3$)

で探索を終える事ができる。したがってできるだけ早い段階で各節点を終端化する事が望ましい。このため次の様な方策がとられる。なお、説明の都合上、以下では目的関数 f の最小化、すなわち、実行可能解中の最小値 $f^*(P_i)$ を節点 P_i の最適値とする。

(3) 上界値：節点 P_i の近似解を求め、その f の上界値を $u(P_i)$ とする。特に、 $u(P_i) = f^*(P_i)$ を証明できれば、 P_i を終端する。(図1の P_{123} は自明な例の1つである)

$$u(P_0) \leftarrow \min\{u(P_0), u(P_i)\}$$

とする。 $u(P_0)$ は原問題 P_0 の最適値候補という意味で暫定値と言ひ、以下では f^0 と記す。

(4) 下界値： $f^*(P_i)$ の下界値 $l(P_i)$ を計算する。このとき、

$$(f^*(P_i) \geq) l(P_i) \geq f^0 (\geq f^*(P_0))$$

ならば、 P_i 以外に P_0 の最適解があり、 P_i は終端する。この様な下界値テストは B & B 法にとって最も普遍的かつ有力な終端化の方策である。

(5) 優越関係：節点 P_i に対して別の P_j が存在し、 $f^*(P_i) < f^*(P_j)$ が証明できるとき、 P_i は P_j に優越すると言ひ、 $P_i DP_j$ と記す。当然 P_j は終端する。

(6) 探索法：活性節点の探索順序を決定する。(4) のためにはできるだけ早く最適値に到達できる(すなわち、 $f^0 = f^*(P_0)$ となる)探索法が望ましい。代表的な探索法としては、次に探索すべき活性節点として最も新しく生成された節点を選ぶ“深さ優先探索”と、最も下界値が小さい節点を選ぶ“最良下界探索”がある。

図2は以上の説明を図1と同じ例で図示したものである。(○: 活性節点, ●: 終端節点, ⊙: 分割節点, →: 深さ優先探索による探索順序)

以上から B & B 法の効率化のためにはできるだけ最適値に近い上界値(暫定値)と下界値をできるだけ早

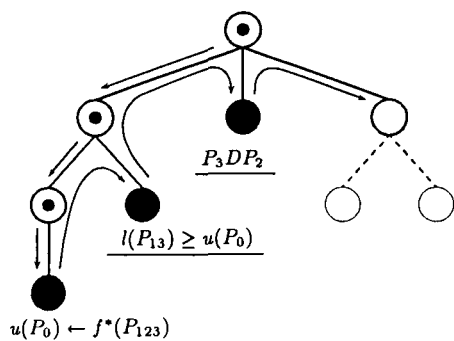


図2: 分枝限定法の原理

くかつ簡単に求め、できるだけ多くの優越関係を見いだす必要がある。この事が容易でない事は明かであるが、 n が 100 以上の様な大規模例を短時間で解くためにはこの事が実現されなければならない事も事実である。なお、B & B 法の詳しい解説については文献 [6] を参照されたい。

3. 1 機械スケジューリング問題 [2]

3.1 問題の設定: n ジョブ $I = \{i | i = 1, 2, \dots, n\}$ を 1 機械で処理する。各ジョブ i には最早開始時刻 (たとえば、到着時刻) $a(i)$, 処理時間 $p(i)$, 納期 $d(i)$ が与えられている。各ジョブ i の開始時刻を $s(i)$, 終了時刻を $c(i)$ とすると、

$$\begin{aligned} s(i) &\geq a(i) && \text{(開始時刻の制約)} \\ c(i) &= s(i) + p(i) && \text{(分割処理は不可)} \end{aligned} \quad (1)$$

でなければならないとする。また、納期遅れは

$$l(i) = \max\{0, c(i) - d(i)\} \quad (2)$$

で与えられる。このとき、最大納期遅れ

$$L_{max} = \max_i l(i) \quad (3)$$

を最小にする 1 機械でのジョブ処理順序を最適とする。ここで、

$$q(i) = \max_j d(j) - d(i) \quad (4)$$

とすると、

$$l(i) = \max\{0, f(i) + q(i) - \max_j d(j)\}$$

となるので、式(3)の L_{max} の代りに

$$f = \max_i \{f(i) + q(i)\} \quad (5)$$

としても最適スケジュールは変わらない。よって以後では表現が容易な式(5)の最小化を考える。

3.2 グラフ表現: 問題をグラフ $G = (X, U)$ で表現する。ここで $X = I \cup \{0, *\}$ は節点集合で、 I はジョブに対応し、 0 と $*$ はそれぞれ全ジョブの開始と終了を表す仮節点である。 U はアーク集合で、 $U = U_1 \cup U_2 \cup U_3$ とする。 $U_1 = \{(0, i) | i \in I\}$ で、アーク $(0, i)$ の長さを $a(i)$ とする。 $U_2 = \{(i, *) | i \in I\}$ で、アーク $(i, *)$ の長さを $q(i) + p(i)$ とする。 $U_3 = \{(i, j) | \text{ジョブ } i \text{ はジョブ } j \text{ に先行する}\}$ とし、アーク (i, j) の長さを $p(i)$ とする。これらのアークはジョブ処理順序を決定する。図3は表1の7ジョブの例に対して順序(6, 1, 2, 3, 4, 5, 7)を表す

表 1: 1 機械スケジューリング問題の例

ジョブ	1	2	3	4	5	6	7
a(i)	10	13	11	20	30	0	30
p(i)	5	6	7	4	3	6	2
q(i)	7	26	24	21	8	17	0

グラフである。このとき、節点0から節点*i* ∈ *I*までの最長経路長がジョブ*i*の開始時刻、0から*までの最長経路長が式(5)の*f*を表す。よってスケジューリング問題は最短な最長経路長(最適値)をとる *U*₃(順序)を決定する問題に帰着する。

3.3 最適スケジューリングに関する性質: 時刻*t*でジョブ*i, j*が処理可能 ($a(i), a(j) \leq t$) で、 $d(i) < d(j)$ ならば、納期の小さい方、すなわち、 $q(i) > q(j)$ (式(4)参照)となるジョブ*i*を*j*に先行させるべきであることは容易に理解できる。よって、「時刻 $t = \min a(i)$ から処理を開始し、加工中のジョブ*i*が終了する毎に、残りのジョブ *R*の最早開始時刻 $t = \max\{c(i), \min_{j \in R} a(j)\}$ (式(1)参照)において開始可能なジョブの中から $q(j)$ 最大のジョブを次に処理する」スケジューリングは必ずしも最適でないが、合理的である。この様なスケジューリングは Schrage アルゴリズムとしてよく知られている。図3は Schrage アルゴリズムを適用した結果を示している。

Schrage アルゴリズムが最適である場合を考えてみる。容易に分かる様に、 $a(i)$ あるいは $q(i)$ が一定である場合は最適である。次にこれを一般化する。このアルゴリズムによるスケジュールに対するグラフの最長

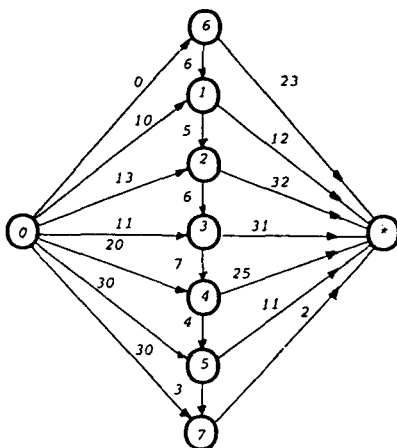


図 3: グラフによる問題表現

経路を簡単のため、 $(0, 1, \dots, p, *)$ とし、その長さを *u* とする。すなわち、

$$u = a(1) + \sum_{i=1, \dots, p} p(i) + q(p). \quad (6)$$

ただし、*p* は式(6)を満たす最大の値とする。この事は Schrage アルゴリズムの定義より、

$$s(1) = a(1) = \min_{i=1, \dots, p} a(i), \quad (7)$$

を意味する。次に、

$$l = a(1) + \sum_{i=1, \dots, p} p(i) + \min_{i=1, \dots, p} q(i), \quad (8)$$

とする。式(7)より *l* は最適値 *f** の下界であるから、 $u = l$ ならば、 $f^* = u$ である。次に、Schrage アルゴリズムが最適でない場合を考える。このとき、 $q(c) > q(p)$ となるジョブ $c(1 \leq c < p)$ が存在する。そうでなければ、 $q(p) = \min q(i)$ となり、 $u = l$ である。

$$c = \max\{j | q(j) < q(p), j = 1, \dots, p-1\} \quad (9)$$

とし、 $J = \{c+1, \dots, p\}$ とする (図3の例では $c = 1, J = \{2, 3, 4\}$)。定義より

$$q(j) \geq q(p) > q(c), j \in J \quad (10)$$

であるから、Schrage アルゴリズムの定義より、 $s(c) < a(j), \forall j \in J$, である。この意味で *c* を *J* に優先する事が有利となる可能性があるが、式(10)はまた *c* を *J* に後続させる方が優利となる可能性も示している。結局、以上の議論から最適スケジュールにおいては *c* を *J* に先行させるか、後続させるかのどちらかである。

3.4 B & B 法アルゴリズム: 2 の分枝限定法の説明に従って述べる。

(1) 部分問題: 親節点 *P* が 3 項組 $(a(i), p(i), q(i))$ で表される *n* ジョブスケジューリング問題であるとしたとき、*P* が活性であるならば、*P* に Schrage アルゴリズムを適用し、3.3 の *c* と $J = \{c+1, \dots, p\}$ を計算して、以下の 2 つの子節点 *P*₁ と *P*₂ を生成する。

*P*₁: *c* が *J* に先行する場合を考える。この場合、

$$q(c) = \max\{q(c), \sum_{j \in J} p(j) + q(p)\}, \quad (11)$$

としたときの *n* ジョブスケジューリング問題を *P*₁ とする。

*P*₂: *c* が *J* に後続する場合を考える。この場合、

$$a(c) = \max\{a(c), \min_{j \in J} a(j) + \sum_{j \in J} p(j)\}, \quad (12)$$

としたときの n ジョブスケジューリング問題を P_2 とする。

(2) 上界値と下界値：各節点 P_i の上界値 $u(P_i)$ は Schrage アルゴリズムによって得られる (式 (6) 参照)。下界値 $l(P_i)$ は式 (8) によって得られる (この他に式 (1) の分割処理不可を緩和した最適分割処理スケジューリングの結果も用いる)。なお、 u と l の計算手間は $O(n \log n)$ である。 f^0 を暫定値としたとき、 $u(P_i) < f^0$ ならば、 $f^0 = u(P_i)$ とする。 $l(P_i) \geq f^0$ ならば、 P_i を終端する。

(4) 探索法：最良下界探索を用いる。

3.5 数値実験： $a(i), p(i), q(i)$ はそれぞれ $[1, kn]$, $[1, 50]$, $[1, kn]$ の範囲の整数型一様乱数で与えられた。ジョブ数 n は $n = 50 \sim 1000$ の 20 種類、また、各 n に対し、50 種類の $k = 1 \sim 200$ を適用し、合計 1000 種類の問題例に B & B 法が適用された。結果として $k = 19$, $n = 850$ 以外の全ての例題に対して最適解が得られた。解かれなかった例題の暫定値の相対誤差は 7×10^{-5} 以下であった。なお、使用言語は FORTRAN, 使用計算機は IRIS80 である。

3.6 まとめと文献： ここで述べた 1 機械スケジューリング問題の NP 困難性は文献 [14] で証明されている。この問題に対する研究報告はここで紹介した Carlier の論文 [2] 以前にも多数ある。実際、上界値、下界値の計算法、また、探索法で Carlier のそれらと共通した B & B 法も提案されている [15]。しかし、それまでに提案されている最良のものでも 80 ジョブ程度を解いているにすぎない [12]。他と比して Carlier の B & B 法が決定的に違う点は c と J の関係に基づいて部分問題を設定したところにある。この様な手法は並列機械問題にも適用され、100 ジョブ程度までは高い確率で解かれる事を示している [3]。さらに、Carlier らは一般のジョブショップ問題にも適用し、ベンチマークとして悪名高い 10×10 問題例を初めて解いている [4]。他方、Adams らは一般のジョブショップ問題に対して Carlier の B & B 法をくり返し用いる近似解法 (Shifting Bottleneck Procedure) を提案し、良好な結果を得ている [1]。

4. 3 機械フローショップ問題 [10]

4.1 問題の定義： n ジョブ $J = \{1, 2, \dots, n\}$ が 3 機械 $m = 1, 2, 3$ によってこの順序で次々と処理される。このとき、1) n ジョブは時刻 0 で処理可能である、2) 各ジョブは一時に高々 1 機械でしか処理されない、3) 各機械は一時に高々 1 ジョブしか処理できない、4) 処理

の中断は許されない、5) ジョブ処理順序はどの機械においても同一である (追抜き禁止) という条件のもとで最大完了時間を最小にするジョブ処理順序 (以後、順序と略記) を最適とする。すなわち、機械 m におけるジョブ i の処理時間を $p_m(i)$ とすると、順序 $s = (j_1, j_2, \dots, j_n)$ における k 番目のジョブ j_k の機械 m での終了時間 $F_m(j_k)$ は

$$\begin{aligned} F_1(j_k) &= F_1(j_{k-1}) + p_1(j_k), \\ F_2(j_k) &= \max\{F_1(j_k), F_2(j_{k-1})\} + p_2(j_k), \\ F_3(j_k) &= \max\{F_2(j_k), F_3(j_{k-1})\} + p_3(j_k), \end{aligned} \quad (13)$$

で与えられ、最大完了時間は $F_3(j_n)$ で与えられる。

4.2 優越規則のファジィ近似： 最初の k ジョブの順序 $s_k = (j_1, j_2, \dots, j_k)$ に対して機械 $m (m = 2, 3)$ における j_k の滞留時間を

$$T_m(s_k) = F_m(j_k) - F_1(j_k) \quad (14)$$

で定義する。このとき、次の優越規則が証明されている (文献 [16] の定理 3.11)。

<優越規則> 最適順序において部分順序 s_k の直後に処理する 2 ジョブを i, j とするとき、

$$T_m(s_k, i, j) < T_m(s_k, j, i), \quad m = 2, 3 \quad (15)$$

が成立つならば、最適順序においてはジョブ j が i に先行することはない。

式 (15) が $m = 2, 3$ の両方において同時に成立する事はむしろ稀で、これだけでは B & B 法の効率化に大きな期待はできない。そこでここでは式 (15) が十分条件であることに注目して、以下のファジィ近似を用いることを考える。すなわち、式 (15) が近似的に成立するならば、ジョブ i が j に先行する可能性が高いと見なし、この可能性をメンバーシップ関数で表現する。

$$\begin{aligned} D_m(s_k, i, j) &= T_m(s_k, i, j) - T_m(s_k, j, i) \\ D(s_k) &= \alpha D_2(s_k, i, j) + (1 - \alpha) D_3(s_k, i, j) \end{aligned}$$

とするとき、ある $\alpha (0 \leq \alpha \leq 1)$ に対して

$$\mu_{s_k}(i, j) = 0.5 - \{D(s_k) / (2D_{\max}(s_k))\} \quad (16)$$

を i が j に先行する程度を表すメンバーシップ関数とする。図 4 は式 (16) を図で表している。

4.3 B & B 法アルゴリズム： 以下では式 (16) の $\mu_{s_k}(i, j)$ を用いた B & B 法アルゴリズムを述べる。

(1) 部分問題：最初の k ジョブの順序 $s_k = (j_1, \dots, j_k)$ が固定され、残りのジョブの集合 $R(|R| = n - k)$ に対

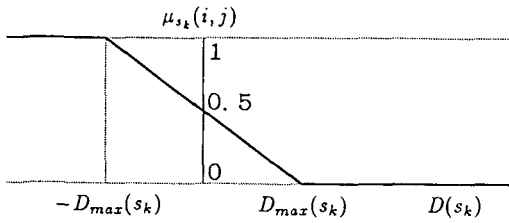


図4: メンバシップ関数

する最適順序を決定する問題を親節点 $P(s_k)$ としたとき、 $n - k$ 個の子節点、 $P(s_k, i)$ 、 $i \in R$ が生成される (図1 参照)。

(2) 上界値: 原節点 $P(\emptyset)$ に対する初期暫定値 f^0 が以下の手順 (ファジィスケジューリングと呼ぶ) に従って決定される。

手順1 最初の k ジョブの順序を s_k 、残りのジョブの集合を R とする ($k = 0$ から出発する)。このとき、

$$\mu_{s_k}^*(i) = \min_{j \in R} \mu_{s_k}(i, j), \forall i \in R$$

を計算する (式 (16) 参照)。

手順2 以下の順序で決定された i^* を次に処理すべきジョブとする。

- (a) $\mu_{s_k}^*(i^*) = \max_{i \in R} \mu_{s_k}^*(i)$
- (b) $\mu_{s_k}(i, j) > 0$ となる個数が最大の i 、
- (c) $\mu_{s_k}(i, j)$ の平均値最大の i 。

手順3 $s_k \leftarrow (s_k, i^*)$ 、 $R \leftarrow R - \{i^*\}$ とする。 $R = \emptyset$ ならば、順序 $s = s_n$ に対する最大完了時間を f^0 として計算終了、そうでなければ、手順1へ戻る。

(3) 下界値: 2 機械フローショップ問題は Johnson ルール [9] によって解かれるので、これを利用する。すなわち、機械 $m = 1$ の全ジョブの処理時間を $\min p_1(i)$ に緩和したときの最適値は元の問題の下界値である。 $m = 2, 3$ についても同様の事が言える。

(4) 優越関係: 式 (15) の優越規則を用いる。

(5) 探索法: 深さ優先探索を用いる (図2 参照)。ただし、節点 $P(s_k)$ から生成された子節点 $P(s_k, i)$ 、 $i \in R$ の中から次にどれを探索するかは次の規則による。a) 最小下界値の節点、b) a) で同値の場合は $P(s_k, i^*)$ を選ぶ。ただし、 i^* はファジィスケジューリングの手順2と同じ手順で選ばれる。以上の探索法を ファジィサーチ と呼ぶ事にする。

4.4 数値実験: 提案した B & B 法におけるファジィスケジューリングやファジィサーチの効果を主として検討する数値実験を行った。ジョブ処理時間 $p_m(i)$

表2: ファジィサーチによる暫定解更新回数率の率 (%)

n	N.I.S.R.			
	0	1	2	≥ 3
10-20	69	21	10	0
30-40	82	18	0	0
50-60	85	15	0	0
70-80	79	21	0	0
90-100	78	22	0	0
110-120	73	27	0	0
130-140	75	25	0	0
150-160	78	22	0	0
170-180	71	29	0	0
190-200	81	19	0	0
Average	77	22	1	0

は [1, 50] の範囲の整数型一様乱数で与えられた。 $n = 10, 20, \dots, 200$ の 20 種類のジョブ数のそれぞれに対して 30 例題ずつ、合計 600 例題が解かれた。メンバシップ関数 (16) には α が含まれるが、最適な α は問題例によって異なる。よってファジィスケジューリング際には $\alpha = 0, 0.4, 0.8$ の 3 種を適用し、最良の α を決定した。ファジィサーチに際しては $\alpha = 0$ に固定した。なお、使用言語は FORTRAN 77、使用計算機は Sun Sparc Station IPC (15.8 MIPS) である。

表2は提案したアルゴリズムによって最適値に至るまでに更新された暫定解の回数 (N.I.S.R.) の相対頻度 (%) を示す。N.I.S.R. = 0 はファジィスケジューリングによる初期暫定解が最適である事を、N.I.S.R. = 1 はファジィサーチによって得られた最初の実行可能解が最適である事を意味する。この両者を無謬探索という事にすれば、表2の結果は約 99% が無謬探索であった事を示している。ファジィスケジューリングとファジィサーチの効果をさらに調べるために、提案したアルゴリズム (以下では A と記す) の他に、次の3種の B & B 法アルゴリズム A1, A2, A3 及び近似解法としての B & B アルゴリズム A* について数値実験を行った。

A1: ファジィスケジューリングは用いるが、ファジィ探索を用いない。他は A と同じ。

A2: ファジィ探索は用いるが、ファジィスケジューリングは用いない。他は A と同じ。

A3: ファジィスケジューリングもファジィも用いない。他は A と同じ。

A*: アルゴリズム A で最適値から 1% 以内の誤差を

表 3: B&B アルゴリズムによって解けた問題例の率 (%)

n	A	A1	A2	A3	A*
10-20	92	90	92	83	98
30-40	90	87	85	62	98
50-60	98	98	92	52	100
70-80	92	88	90	53	100
90-100	97	93	97	62	100
110-120	97	95	95	63	100
130-140	93	92	93	52	100
150-160	98	97	95	48	100
170-180	98	92	88	53	100
190-200	98	95	88	37	100
Average	95	93	92	57	100

許す。アルゴリズム A において全ての下界を 1.01 倍することによって得られる。

表 3 は各アルゴリズムによって CPU 時間 30 分以内に解かれた率を示す。ジョブ数 n が増大するとき、ファジィ近似を用いたアルゴリズム A, A1, A2 は高い率を維持しているのに対し、ファジィ近似を用いない A3 は急激に低下しているのが分かる。アルゴリズム A2 と A3 の結果に大きな差が出ている事は同じ親節点を持つ子節点の間で同値の下界値を持つ場合が多い事に帰因している。なお、ジョブ数 n がむしろ小さいところで解ける率が低いのはやや意外に思えるが、このへんが NP 困難性の意味するところかも知れない。

4.5 まとめと文献: 3 機械フローショップ問題の NP 困難性は文献 [5] で証明されている。この問題に対し初めて B & B 法を適用したのは Ignall ら [8] である。一般のフローショップ問題に対する Lageweg らの B & B 法は下界値の計算法に工夫があるが、3 機械フローショップ問題に対しては 50 ジョブでも 5 割程度しか解けていない [13]。久保らは 100 ジョブ程度までは非常に高い確率で解く事ができる B & B 法を提案している [11]。なお、ここで提案されたアルゴリズム A はその後、下界値計算法に改良が加えられ、現在、1000 ジョブ程度までは 95% 以上の確率で解けるまでになっている。また、優越規則 (15) は一般の m 機械にも拡張可能である。

5. むすび

ここで述べた 2 つのスケジューリング問題においても確かに解く事が難しい問題例 (最悪例) が存在する。しかし、大半の問題例については 1000 ジョブ程度まで

解く事が可能である。これをもってスケジューリング問題に対する B & B 法の実用性を主張するのは論議の余地があるかも知れないが、読者の判断にゆだねたい。現実のもっと複雑な問題に対してはここで述べた様には簡単ではないという意見もある。現在はその通りである。しかし、ここで述べた問題も長い間小さな問題例しか解かれていなかった。これは計算機の差だけではない。したがって将来、より複雑な問題に対しても B & B 法あるいは他の最適化アルゴリズムが大規模問題例に適用できる様になる事を信じたい。

参考文献

- [1] Adams, J., Balas, E., Zawack, D., Management Sci., 34(1988), 391-401
- [2] Carlier, J., European J. Oper. Res., 11(1982), 42-47
- [3] Carlier, J., European J. Oper. Res., 29(1987)
- [4] Carlier, J., Pinson, E., Management Sci., 35(1989), 164-176
- [5] Garey, M. R., Johnson, D. S., Sethi, R., Math. Oper. Res., 1(1976), 117-129
- [6] 茂木, 組合せ最適化, 産業図書 (1983)
- [7] 茂木, 本誌, 39-10(1994)
- [8] Ignall, E., Schrage, L., OR, 13(1965), 400-412
- [9] Johnson, S. M., Naval Res. Log. Quart., 1(1954), 61-68
- [10] 木瀬, 程, 松本, 電学論 C, 114(1994), 470-475
- [11] 久保, 沖野, 精密機械, 42(1976), 20-25
- [12] Lageweg, J., Lenstra, J., Rinnooykan, A. H. G., Statistica Neerlandica, 30(1976), 25-40
- [13] Lageweg, J., Lenstra, J., Rinnooykan, A. H. G., OR, 25(1978), 53-67
- [14] Lenstra, J., Rinnooykan, A. H. G., Brucker, P., Anals of Discrete Math., 1(1977), 343-362
- [15] McMahan, G., Florian, M., OR, 23(1975), 475-482
- [16] 鍋島, スケジューリング理論, 森北出版 (1974)